

### III-116 近接した双設トンネル施工時における挙動計測について

#### その3 覆工表面の動的変形ヒザミについて

東急建設(株) 正員 菊池 章裕

東急建設(株) 正員 西岡 哲

東急建設(株) 正員 後藤 有志

#### 1. はじめに

過日、上下各2車線の双設道路トンネルの施工にあたり、両トンネルの間隔が、1.5m～1.8mと非常に近接した状況で、下り線の掘削を、上り線一次覆工完了後爆破により行った。このような至近距離において、爆破掘削を行った例は非常に少く、本施工に先がけ種々の実験等を行い、概要をつかんだうえで、本施工を行ったが、本施工においても、施工管理を含め種々の計測を行い資料を得た。ここに、本施工において、下り線掘削時の爆破へ影響を受けた、上り線トンネル覆工の計測結果について、前回に引きづき報告する。

#### 2 計測状況

計測状況を図1に示す。実線で示したトンネルが、計測器を設置した上り線トンネルで、破線で示したトンネルが、爆破を行った下り線トンネルである。計測は、図1に示した位置に、24点の圧電型加速度計と、8点のストレンジージを配置し計測した。報告する結果は、下半の爆破におけるものである。爆源は、上り線トンネル覆工への入力をミニマルなものとする為に、特別、段差の最終段を1段1孔とし、図示の位置に600gの装薬とした。当該位置の岩は、圧碎性花崗閃緑岩で、塊状堅硬な岩であるが、圧碎作用を受け壊裂が多く、かなり風化している。上り線トンネルの覆工は、事前実験にもとづき、爆破の影響軽減を目的として、20cm厚のスチールファイバー入り吹きつサコンクリートで施工されている。

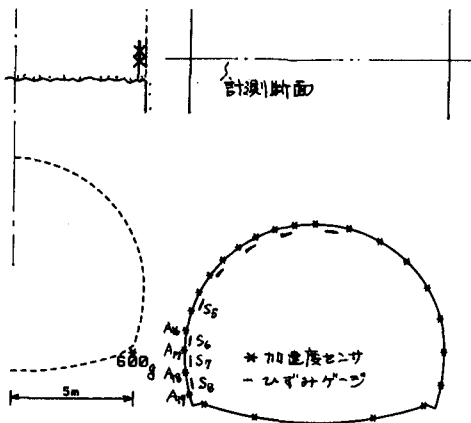


図1 計測状況

#### 3 計測結果

図1に示した、加速度センサ A16, A17, A18, A19, 及び、ひずみゲージ S5, S6, S7, S8 の各計測波形は図2に示した。図示の波形は、データレコーダに記録した信号を A/D コンバータで数値化し、プロッタで描画したものである。数値化するサンプリングの早さは、 $5 \times 10^{-5}$  SEC (20 kHz) 行い、変位波形は、加速度データより計算により求めた。変位波形は、正方向がトンネル内側への方向、ひずみ波形は、正方向が引張り、負方向が圧縮である。計

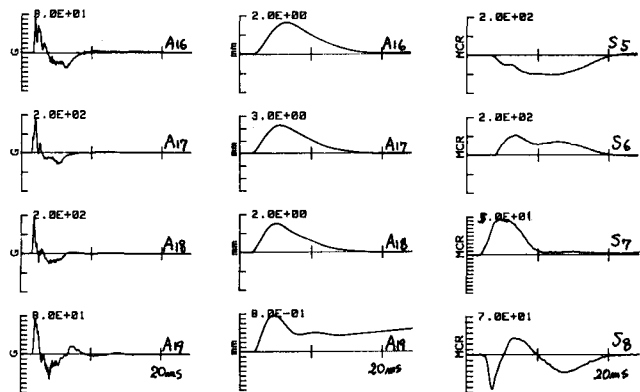


図2 代表的位置における計測波形

測定された最大値は、加速度が、位置 A<sub>17</sub>, A<sub>18</sub> で 180 G、速度が、A<sub>17</sub> で 89.5 cm/s、引張りひずみが、S<sub>6</sub> で 106 μ、圧縮ひずみが、S<sub>5</sub> で 102 μ であった。これによると、覆工とインバートの接続部近傍において、複雑な挙動が生じたと推定される。図 3 に、爆源位置とトンネル覆工の変形の関係を示した。これによれば、覆工の変形は、爆源の至近位置で局部的であり、覆工表面に生じた引張りひずみも、局部的で、圧縮ひずみを受けける領域が大きいことを示している。

図 4 には、薬量 600 g の爆薬によって生じた、トンネル覆工表面の変形状況とひずみ状況の時刻歴を示した。時刻は、爆破した情報が、最初に観測された時刻を 0 ms として、間隔 1.6 ms あきに示した。変形状況は実線で、ひずみ状況は、点線で示し、トンネルの内側は引張り、外側は圧縮として表示した。1.6 ms から 4.8 ms にかけて爆破位置に最短となる部位が局部的に内側に変形し、この近傍にのみ引張りひずみが生じ、覆工が凹形の変形となる肩付近には圧縮ひずみが生じ、いずれも覆工の復元に伴い減少していく。覆工とインバートの接続部では、図 5 D で覆工の内側への変形に伴い、圧縮ひずみが生じるが、これによりインバートが下がることにより、図 5 C に示すように引張りひずみとなり、さらに図 5 D に示すように、インバートが押し上げることにより内側へ圧縮ひずみが生じるものと考えられる。

#### 4 結論

1. 覆工で計測された重力ひずみは、圧縮ひずみが主であり、引張りひずみの発生は、爆源至近位置の局部的なものであった。
2. 覆工のひずみが、覆工（表面）の変形に起因すると考えられるので、トンネルの形状もさることながら、覆工自体の変形に対するじん性も非常に重要な要素と考えられる。
3. 目視では損傷が確認できなかつたが、12.8 ms 以降インバートが覆工を押し上げる際にひずみが計測されないが、接着部等の変形が生じたものと考えられる。

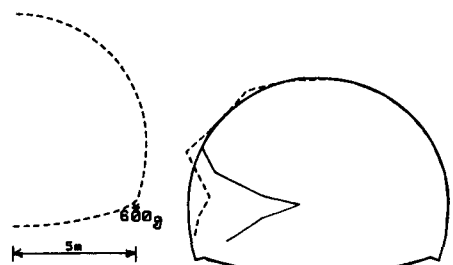


図 3 爆源位置と変形状況

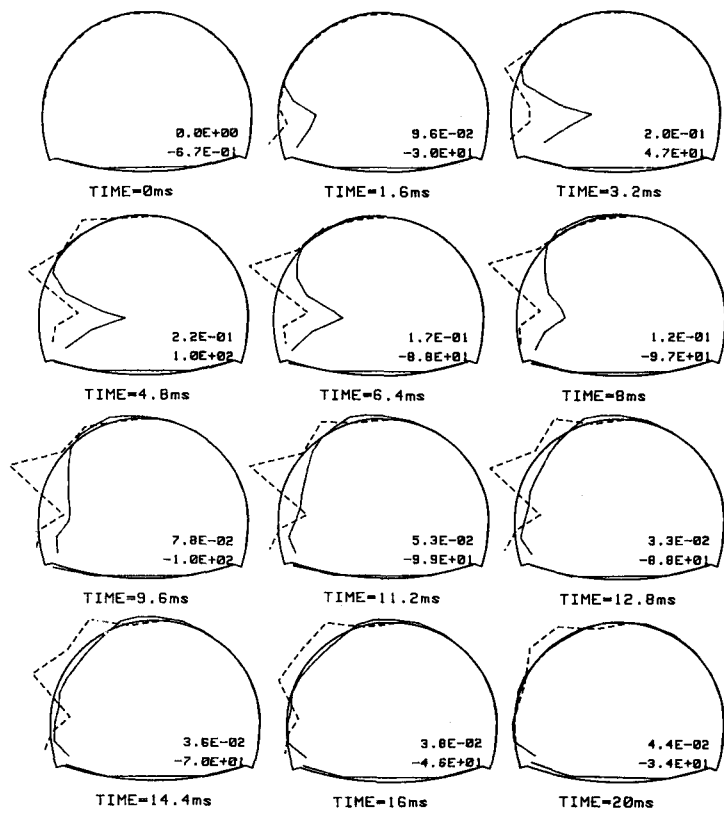


図 4 変形とひずみの時刻歴

--- DEFORMATION  
STRAIN INNER-TENSION  
OUTER-PRESSURE

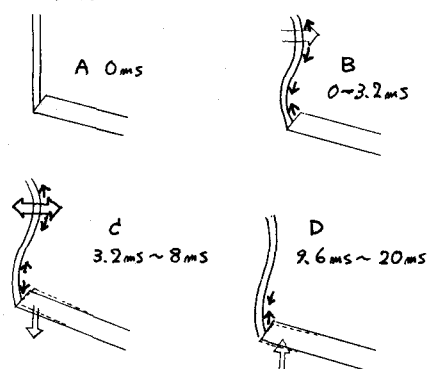


図 5 覆工とインバートの推定挙動